

ستنتز نانوچندسازه نیکل- مس به عنوان یک ماده آندی کارآمد در پیل سوختی الکلی به کمک تابش ریزموج برای اکسایش الکتروکاتالیستی متانول

محمدعلی کامیابی^{۱*} و بابک جلیلیان^۲

۱. استاد تمام گروه شیمی، دانشکده علوم، دانشگاه زنجان، زنجان، ایران.

۲. دانشجوی کارشناس ارشد گروه شیمی، دانشکده علوم، دانشگاه زنجان، زنجان، ایران.

دریافت: مرداد ۱۴۰۲ بازنگری: اسفند ۱۴۰۳ پذیرش: اسفند ۱۴۰۳



DOI: 10.30495/JACR1.1403.1044398

چکیده

در این مطالعه، نانوچندسازه‌های دو فلزی نیکل - مس و کاهش گرافن اکسید به طور همزمان با به کارگیری تابش ریزموج ستنتز و کارایی کاتالیستی آن‌ها بررسی شد. روش ستنتز پیشنهادی یک فرایند ساده، سریع و قابل واپاپیش بشمار می‌رود. رفتار الکتروشیمیایی کاتالیست ستنتزشده برای واکنش اکسایش متانول (MOR) در محیط قلایی بررسی شد. اثر ملامین بر فعالیت الکتروکاتالیستی نمونه ستنتزشده با روش‌های آمپرولت‌سنجدی چرخه‌ای (CV)، زمان-آمپرسنجدی (CA) و طیف‌سنجدی رهبندي الکتروشیمیایی (EIS) مطالعه شد. استفاده از ملامین به عنوان منبع نیتروژن برای دوپه‌شدن نیتروژن در شبکه گرافن اکسید کاهش یافته تا حدی منجر به تشکیل ساختارهای NiCu-N شد. این پیوند فلز-نیتروژن موجب افزایش فعالیت کاتالیستی نسبت به MOR شد. اثر ملامین با افزایش ۲۰۳ میکروآمپری در جریان و کاهش ۲۰ میلی‌oltی در پتانسیل شروع در مقایسه با سایر کاتالیست‌های شاهد ستنتزشده در طی فعالیت MOR، تایید شد. نتیجه‌ها نشان‌دهنده کارایی عالی کاتالیست ستنتزشده به عنوان آند در پیل سوختی مستقیم متانول بود.

واژه‌های کلیدی: پیل سوختی، تابش ریزموج، اکسایش الکتروکاتالیستی متانول، بسیار رسانا، ملامین.

دست آمده از فناوری‌های فعلی تولید انرژی به علت احتراق، مضر

برای محیط‌زیست هستند و منجر به سیاری از نگرانی‌های جامعه جهانی از جمله تغییرهای آب‌وهوا، تخریب لایه اوزون و باران‌های اسیدی می‌شوند، درحالی که پیل‌های سوختی سازوکار کارآمد و پاک برای تبدیل انرژی ارائه می‌کنند. افزون‌براین، پیل‌های سوختی برای توسعه پایدار و امنیت انرژی با منابع

مقدمه

پیل سوختی دستگاهی الکتروشیمیایی است که انرژی شیمیایی را بدون واسطه به انرژی الکتریکی تبدیل می‌کند. پیل‌های سوختی نسبت به منابع انرژی سنتی مانند موتورهای احتراق داخلی و باتری‌ها مزایای بسیاری دارند. آن‌ها بسیار کارآمد هستند و آلودگی بسیار کمی منتشر می‌کنند. مواد به-

نیکل بهدلیل رسانایی بالا و فعالیت الکتروکاتالیستی مناسب و مس بهدلیل پایداری الکتروشیمیابی بالا و مقاومت بالا در برابر مسومومیت، گرینه‌های خوبی برای واکنش MOR هستند [۱۳ و ۱۴]. در مقایسه با روش‌های معمول برای تهیه نانوذرهای فلزی، مانند روش‌های الکتروترسیب هم‌زمان متداول [۱۵ و ۱۶] یا روش آب گرمایی [۱۷]، روش استفاده از تابش ریزموج اقتصادی و قابل‌وایش‌تر است و از ایجاد گرادیان‌های گرمایی جلوگیری و یک محیط یکنواخت برای واکنش فراهم می‌کند. از این‌رو، ریخت نانوذرهای فلزی تهیه شده با این روش، یکنواخت و قابل‌وایش است [۱۸ و ۱۹]. از دیگر مزایای این روش، می‌توان به زمان کوتاه‌تر واکنش، بازده بالا، خلوص فراورده، کاهش مواد خطرناک، نانوساختارهایی با اندازه‌های کوچک‌تر و توزیع اندازه‌های یکنواخت‌تر اشاره کرد که امروزه بسیار مورد توجه هستند [۱]. در این پژوهش، با به‌کارگیری تابش ریزموج، نانوچندسازه‌های نیکل‌مس و گرافن اکسید کاهش‌یافته، سنتر شدند. در واقع کاهش یون‌های فلزی نیکل و مس هم‌زمان با کاهش گرافن اکسید در حلال اتیلن گلیکول، انجام و در حضور ملامین (Me^\ominus)، نانوچندسازه مربوط تهیه و کارایی آن برای اکسایش الکتروکاتالیستی متابول در محیط قلیایی بررسی شد. ملامین‌به‌عنوان یک منع غنی از نیتروژن بهصورت‌های متفاوتی برای اصلاح سطح الکترود استفاده شد. پلی‌لامین، به‌عنوان یک بسپار رسانا، شامل گروه‌های آمین و یک حلقه بنزن است که محل‌های پیوند برای جذب و انباست آنالیت‌ها را فراهم می‌کند و موجب بهبود حساسیت می‌شود [۲۰ تا ۲۲]. در این مطالعه، از ملامین برای دوپه‌کردن نیتروژن در ساختار گرافن اکسید کاهش‌یافته (rGO^\ominus) استفاده و نقش ملامین با تهیه نمونه‌های شاهد مشخص شد.

بخش تجربی

مواد شیمیابی

تجددی‌پذیر و خوارک‌های انرژی مدرن (برای مثال، هیدروژن) سازگار هستند. در اصل، پلی‌سوختی وسیله‌ای است که سوخت و اکسنده پیوسته به آن وارد می‌شود و جریان الکتریکی از آن به‌دست می‌آید. تفاوت آن با باتری در این است که باتری‌ها حاوی تمام واکنش‌دهنده‌های شیمیابی در ابتدا هستند و جریان الکتریکی از برهم‌کنش‌های مواد داخل باتری به‌دست می‌آید. بنابراین، پس از تخلیه الکتریکی، باتری نیاز به باردارشدن دارد. تفاوت پلی‌سوختی با مولدهای برق مورداستفاده در منازل و صنعت در این است که یک پلی‌سوختی می‌تواند به‌گونه‌ای طراحی شود که هیچ آلاینده‌ای در هوا منتشر نکند، نیازی به خنک‌کننده یا آب تغذیه نداشته باشد و بی‌صدای و ارزان‌تر از مولد برق کار کند. پلی‌های سوختی برای کاربردهایی مانند منابع انرژی کمکی در فضایپماها و زیردریایی‌ها یا سایر وسایل نقلیه نظامی، جایگزینی مناسب برای مولدهای بتزینی و دیزلی و موتورهای خودرو هستند [۱]. در نتیجه، آن‌ها به‌عنوان دستگاه‌های تبدیل انرژی در آینده در نظر گرفته می‌شوند [۲ و ۳]. پلی‌های سوختی متابولی مستقیم (DMFC^۱) به‌دلیل دمای پایین عملیاتی، راه‌اندازی به‌نسبت سریع و چگالی توان بالا، منبع انرژی امیدوارکننده‌ای برای کاربردهای متفاوت هستند. واکنش اکسایش متابول (MOR^۲، واکنش کلیدی در DMFC است [۴ تا ۶]. متابول به‌دلیل مزایای متفاوت، مانند انرژی ویژه برتر، قیمت مقرر به‌صرفه و حالت فیزیکی مایع که به‌طورروشن ایمنی کارکردی سامانه را تعیین می‌کند، بیش از پلی‌های سوختی دیگر، مورد توجه است [۱۰]. نانومواد مبتنی بر پلاتین در درجه اول به‌عنوان الکتروکاتالیست‌های آندي برای اکسایش متابول استفاده می‌شوند. با این حال، هزینه بالا، مسومومیت سریع کاتالیست، سینتیک به‌نسبت کند و پایداری کم الکتروکاتالیست‌های مبتنی بر پلاتین به‌شدت مانع تجاری‌سازی بیشتر سلول‌های سوختی هستند [۱۱ و ۱۲]. همچنین، گزارش‌های پژوهش‌ها نشان می‌دهد که کاتالیست‌های مبتنی بر

1. Direct methanol fuel cell

3. Melamine (Me)

2. Methanol oxidation reaction

4. Reduced graphene oxide (rGO)

تهیه نانوذرهای نیکل و مس و گرافن اکسید کاهاش یافته برای اجیای همزمان گرافن اکسید و نانوذرهای فلزی نیکل و مس، در مرحله اول، ۵ میلیگرم GO در ۵ میلیلتر حلal آلی اتیلن گلیکول در یک بشرکوچک ریخته و ۰/۱۵ میلیمول از هر یک از نمکهای نیکل (NiSO₄.6H₂O) به مقدار ۳۹/۵ میلیگرم) و مس (CuSO₄.5H₂O) به مقدار ۳۷/۵ میلیگرم) به آن افزوده شد و با امواج فراصوت مخلوط همگنی به دست آمد. سپس، این مخلوط با دستگاه ریزموچ خانگی (۲۴۵۰ مگاهرتز، ۸۵۰ وات) در ۵ نوبت به مدت ۶۰ ثانیه در ۸۵۰ وات گرمادهی و اجازه داده شد تا در دمای محیط آزمایشگاه سرد شود. پس از آن، مخلوط صاف و رسوب سیاه به دست آمده چندین بار با اتانول و آب مقطر شسته و در دمای ۵۰ درجه بددست آمده و سلسیوس خشک شد. در مرحله دوم، از ترکیب ملامین به عنوان منبع نیتروژن برای دوپه شدن نیتروژن در شبکه گرافن اکسید کاهاش یافته استفاده شد؛ بدین ترتیب که پودرهای Ni-Cu/rGO بدست آمده و ۲ میلیگرم ملامین با ۷ میلیلتر اتیلن کل در حمام فراصوت همگن و سپس در آون با دمای ۵۰ درجه سلسیوس خشک شدند. در پایان پودر به دست آمده در دمای ۳۵۰ درجه سلسیوس به مدت سه ساعت در کوره گرمادهی شد و پودر سیاه کاتالیست Ni-Cu/N-rGO به دست آمد. روش سنتر پیشنهادی با تابش ریزموچ موثر و سریع است. در واقع در حلal اتیلن گلیکول گرافن اکسید به گرافن اکسید کاهاش یافته تبدیل و به طور همزمان و در یک مرحله با نانوذرهای نیکل و مس کاهاش یافته، اصلاح شد [۴ و ۲۶]. برای مشخص شدن اثر نانوذرهای فلزی در اکسایش الکتروکاتالیستی متانول، الکتروود دیگر با استفاده از نانوذرهای نیکل با همین روش تهیه شد که با اختصار به صورت Ni/N-rGO نمایش داده شد. همچنین، برای مشخص شدن اثر ملامین، الکتروود شاهدی بدون استفاده از ملامین تهیه و به اختصار به صورت Ni-Cu/rGO نمایش داده شد. برای مشخص شدن زمان افزودن ملامین، الکتروود شاهد دیگری تهیه

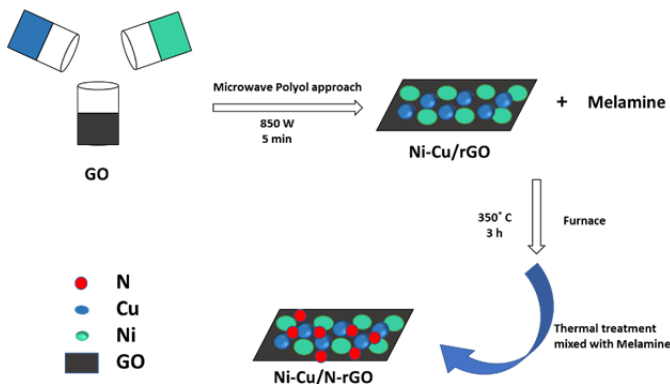
متانول (۹۹/۶٪)، اتیلن گلیکول، اتانول (۹۶٪)، NaOH (۹۶٪)، H₂SO₄ (۹۵٪) تا ۹۷٪)، NiSO₄.7H₂O و CuSO₄.5H₂O با خلوص آزمایشگاهی از شرکت مرک بودند. همه مواد بدون خالص سازی بیشتر و محلول های آبی با دوبار تقطیر در سراسر آزمایش ها استفاده شدند.

دستگاه ها

اندازه گیری های الکتروشیمیایی در یک سلول الکتروشیمیایی مجهرز به الکتروود کار (الکتروود کربن شیشه ای اصلاح شده با قطر ۲ میلی متر)، سیم پلاتین به عنوان الکتروود کمکی و Ag/AgCl به عنوان الکتروود مرجع انجام شد. روش های الکتروشیمیایی مانند آمپرولت سنجی چرخه ای (CV)، زمان - آمپرسنجی (CA) و طیف سنجی رهیاندی الکتروشیمیایی Smart Manager (EIS) با دستگاه ZIVE LAB و نرم افزار Smart Manager ۶.6.4.0 انجام شد. بررسی ساختار نانو کاتالیست با پراش پرتو ایکس (XRD)، PHILIPS PW 1730، هلند، تابش (Cu Ka) مشخص شد.

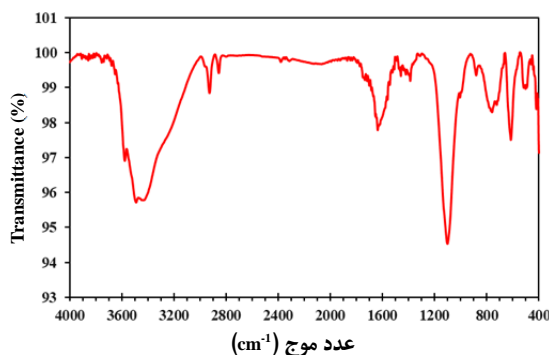
تهیه الکتروشیمیایی گرافن اکسید GO پودر گرافن اکسید از راه یک فرایند الکتروشیمیایی بدون واکنش جانی، سبز و مقرن به صرفه با لایه برداری الکتروشیمیایی الکتروود گرافیت با تری خشک معمولی در الکتروولت آبی H₂SO₄ تهیه شد [۲۳]. به طور خلاصه، یک پیل الکتروشیمیایی دو الکتروودی برای لایه برداری الکتروشیمیایی مغز با تری راه اندازی شد که مغز گرافیتی با تری به عنوان آند و سیم پلاتین به عنوان کاتد در طول فرایند لایه برداری الکتروشیمیایی استفاده شد. یک پتانسیل ثابت ۲/۵ ولت در ابتدا در دو الکتروود به مدت ۱۰ دقیقه اعمال شد. پتانسیل الکتروود پس از آن به ۱۰ ولت افزایش و به مدت ۱۰ دقیقه حفظ شد. پودر گرافن اکسید لایه برداری شده با اتانول و آب یون زدوده شسته و با گریزانه جدا و بدون عملیاتی دیگر جمع آوری و در دمای ۵۰ درجه سلسیوس خشک شد.

شد که ملامین در ابتدا به همراه سنتز نانوذره‌های فلزی در سنتز به کار برده شد که به صورت Ni-Cu/N/rGO نمایش داده شد.



شکل ۱ طرح‌واره سنتز کاتالیست

گستره ۴۰۰ تا 690 cm^{-1} می‌شود که نشان‌دهنده وجود نانوذره‌های اکسیدهای فلزی مس و نیکل موجود در نمونه است [۲۸].



شکل ۲ طیف FTIR نانوکاتالیست سنتز شده

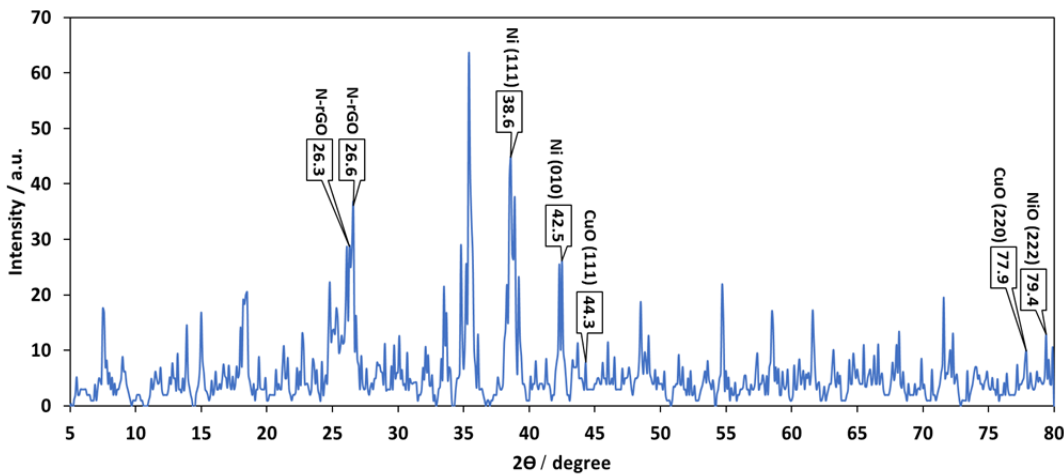
برای بررسی ساختار نمونه سنتز شده، پراش پرتو ایکس (XRD) به کار گرفته شد. شکل ۳ الگوی پراش به دست آمده برای کاتالیست سنتز شده با نانوذره‌های نیکل–مس در 2θ بین ۵ تا 80° درجه را نشان می‌دهد. در الگوی به دست آمده قله‌های مربوط به صفحه‌های لایه‌های گرافن اکسید کاهش یافته و نیتروژن متصل به آن در زوایای 26.6° و 26.3° پدیدار می‌شوند [۳]. قله‌های پدیدار شده در 2θ برابر با 38.6° و 42.5° مربوط به

نتیجه‌ها و بحث

بررسی ویژگی‌های الکتروکاتالیست سنتز شده شکل ۲ طیف FTIR کاتالیست Ni-Cu/N-rGO را نشان می‌دهد. در گستره ۳۱۰۰ تا 3600 cm^{-1} ، یک نوار دوتایی پهن مشاهده می‌شود که نشان‌دهنده ارتعاش‌های کششی مربوط به N-H آمین نوع اول و O-H رطوبت نمونه با هم است. وجود آمین نوع اول با توجه به ساختار ملامین مورد تایید است. همچنین، حضور N-H در ساختار می‌تواند به صورت یک رابط عرضی بین مواد تشکیل‌دهنده و دو اکسید فلز باشد. نوار مشاهده شده در 2922 cm^{-1} مربوط به ارتعاش کششی C-H آلفاگیک، نوارهای گستره ۱۶۴۶ تا 1653 cm^{-1} و ناحیه 1600 cm^{-1} به ترتیب مربوط به ارتعاش خمی آمین نوع اول و کششی C=C حلقه آروماتیکی هستند. از این دو نوار می‌توان نتیجه گرفت که نیتروژن در ساختار و حلقه آروماتیک وجود دارد. نوار 1099 cm^{-1} مربوط به C-N در C_2H_2 است که با نوارهای دیگر آمین هم مورد تایید است [۲۷]. با توجه به ساختار نمونه سنتز شده، می‌توان در نظر گرفت که هیدروکسیدهای فلزی در حفره‌های کربنی قرار دارند. ناحیه 690 cm^{-1} نیز مربوط به C-H خمی خارج صفحه آروماتیک است. ارتعاش فلز-اکسیژن موجب ایجاد نوارهایی در

سنتر نانوچندسازه نیکل- مس به عنوان یک ماده آندی کارآمد در پیل سوختی ...

صفحه‌های ۱۱۱ و ۱۰۰ شبکه نیکل است و زاویه 79.4° مربوط به صفحه ۲۲۲ نیکل اکسید است. قله‌ها در زوایای 44.3° و 77.8° صفحه‌های ۱۱۱ و ۲۲۰ مس اکسید را نشان می‌دهند.



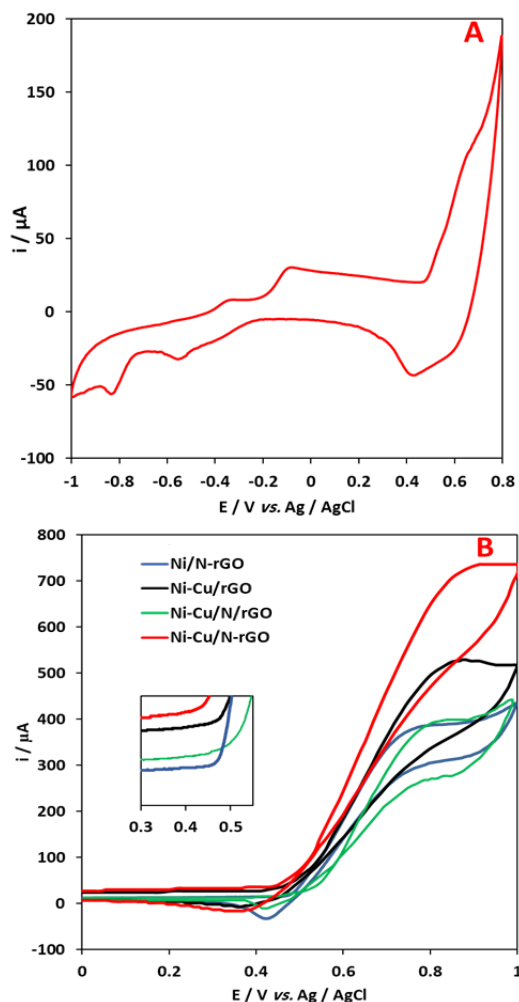
شکل ۳ الگوی XRD کاتالیست سنتز شده

بیشتر از جریان بر سطح الکتروکاتالیست‌های شاهد یعنی Ni/N - rGO و $\text{Ni}-\text{Cu}/\text{N-rGO}$ با چگالی جریان‌های 383° ، 534° و 395° میکروآمپر است. افزون‌براین، پتانسیل شروع در نمودار ولت‌امپرسنجی اکسایش متابول نیکل برای الکترود اصلاح شده $\text{Ni}-\text{Cu}/\text{N-rGO}$ برابر 0.43° ولت که منفی‌تر از سایر الکترودهای $\text{Ni}-\text{Cu}/\text{N-rGO}$ و $\text{Ni}-\text{Cu}/\text{rGO}$ با پتانسیل شروع 0.46° و 0.48° ولت است. جریان آندی بیشتر و پتانسیل شروع منفی‌تر برای اکسایش متابول نشان دهنده فعالیت الکتروکاتالیستی بهتر الکترکاتالیست سنتزی $\text{Ni}-\text{Cu}/\text{N-rGO}$ نسبت به سایر حالتهای اکسایش متابول روی سطح الکترود $\text{Ni}-\text{Cu}/\text{N-rGO}$ نسبت به فعالیت‌های الکترودهای اصلاح شده $\text{Ni}-\text{Cu}/\text{rGO}$ ، Ni/rGO و $\text{Ni}-\text{Cu}/\text{N-rGO}$ نشان دهنده فعالیت موثر نانوذرهای $\text{Ni}-\text{Cu}$ و نیتروژن-دوپهشده با ملامین در گرافن اکسید کاهش یافته است که می‌تواند عملکرد الکتروکاتالیستی را با تأثیر هم‌افزایی کاتالیستی نانوذرهای $\text{Ni}-\text{Cu}$ و N برای MOR فراهم کند.

بررسی الکتروشیمی کاتالیست سنتز شده شکل ۴، نمودارهای ولت‌امپرسنجی الکترودهای اصلاح شده در حضور و غیاب متابول را نشان می‌دهد. با توجه به شکل A-۴ که جریان زمینه کاتالیست $\text{Ni}-\text{Cu}/\text{N-rGO}$ را نشان می‌دهد، براساس قله‌های آندی در حدود پتانسیل 0.43° و 0.46° ولت مربوط به مس اکسید و در پتانسیل حدود 0.65° ولت مربوط به نیکل اکسید، حضور این دو نانوذرهای فلزی مس و نیکل در ساختار کاتالیست سنتز شده تایید می‌شود. فعالیت الکتروکاتالیستی این الکترود اصلاح شده برای کاتالیز اکسایش متابول در 0.18° مولار NaOH ، 0.1° مولار متابول مورد بررسی قرار گرفت. شکل B-۴ افزایش جریان که از ویژگی‌های شناخته شده اکسایش متابول روی سطح الکتروکاتالیست است را نشان می‌دهد. به عنوان یک واکنش واپاپیش شده سیتیکی، فعالیت اکسایش متابول را می‌توان با اندازه‌گیری پیک آندی نشان داد. جریان پیک آندی اکسایش متابول بر روی سطح این الکتروکاتالیست، $\text{Ni}-\text{Cu}/\text{N-rGO}$ ، 737° میکروآمپر است که

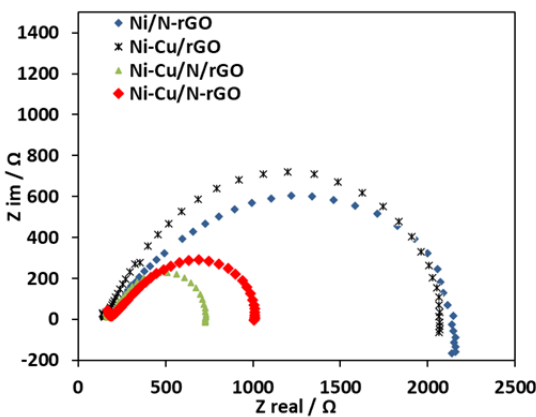
همچنین، همان‌طور که در بخش روش کار و تهیه کاتالیست در بالا ذکر شد، از ملامین به دو روش برای این منظور به کار گرفته شد که با نمادهای Ni-Cu/N-rGO (حالی که ملامین در آخرین مرحله سنتر افزوده شده است) و Ni-Cu/rGO (که ملامین از ابتدا با نانوگرافن کاهش یافته به کار برد شده است). نتیجه‌ها نشان می‌دهد که حالت اول یعنی حالتی که ملامین در آخرین مرحله به سامانه افزوده می‌شود بیشترین کارایی را دارد (شکل ۴). مطالعه فعالیت الکتروشیمیایی نمونه‌های ساخته شده با تابش ریزموگ انجام و پایداری آن‌ها با روش زمان-آمپرسنجی بررسی شد. پایداری نمونه‌ها در محلول سدیم هیدروکسید ۰/۱ مولار حاوی ۰/۱۸ مولار متانول در پتانسیل ثابت ۰/۷ ولت بررسی شد. شکل ۵ نمودارهای زمان-آمپرسنجی اکسایش متانول روی الکترود اصلاح شده با الکتروکاتالیست‌های متفاوت سنتز شده بر بستر گرافن اکسید کاهش یافته را نشان می‌دهد. افت ناگهانی جریان پس از چند ثانیه اولیه به دلیل پایین آمدن غلظت آنالیت در سطح الکترود اصلاح شده است و در ادامه پدیده نفوذ آنالیت به سطح الکترود است که فرایندی یکنواخت است. پس از آن، جریان در یک گرادیان به نسبت ثابت و کمتر ادامه می‌یابد که نشان‌دهنده پایداری الکتروکاتالیست‌های تهیه شده در برابر سومیت به دست آمده از اکسایش متانول است. مقایسه نمودار مربوط به Ni-Cu/N-rGO با نمودار مربوط به Ni-Cu/rGO نشان می‌دهد که سرعت کاهش جریان برای Ni-Cu/N-rGO کندر از سایرین است. همچنین، حالت پایدار آن، جریان بالاتری دارد. این نتیجه به دلیل اثر هم‌افزایی نیتروژن با منبع ملامین و نانوذره‌های فلزی نیکل و مس است که در سنتز این الکتروکاتالیست استفاده شده است.

نقش ملامین در افزایش جریان و پتانسیل شروع منفی‌تر اکسایش الکتروکاتالیستی متانول با مقایسه دو نمودار ولت‌آمپرسنجی الکترود اصلاح شده با Ni-Cu/N-rGO و حالتی که ملامین ندارد یعنی Ni-Cu/rGO به طور مشخص در شکل ۴ واضح است.



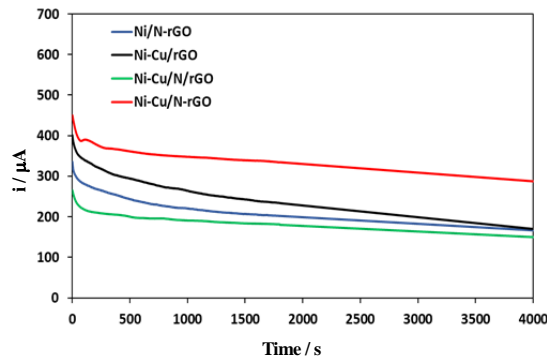
شکل ۴ نمودارهای ولت‌آمپرسنجی چرخه‌ای در جریان زمینه Ni-Cu/N-rGO در سدیم هیدروکسید ۰/۱ مولار (A) و در حضور متانول ۰/۱۸ مولار + سود ۰/۱ مولار برای الکترودهای اصلاح شده (B) Ni-Cu/N-rGO و Ni-Cu/N/rGO و Ni-Cu/rGO و Ni/N-rGO با سرعت جاروب ۱۰۰ میلی‌ولت بر ثانیه

(Ni-Cu/N/rGO) است که تاییدی بر نتیجه‌های اثر الکتروکاتالیستی و پایداری بررسی شده در این مطالعه است. نقش نانوذرهای مس در افزایش رسانایی سامانه را نیز به خوبی می‌توان از مقایسه نمودار نایکوئیست الکترود اصلاح شده با نانوذرهای نیکل (بدون استفاده از نانوذرهای مس) یعنی Ni/N-rGO با حالت‌های دیگر مشاهده کرد. همان‌طور که از شکل ۶ مشاهده می‌شود این الکترود اصلاح شده، بیشترین مقاومت سطح را دارد. بررسی رفتار الکتروکاتالیستی و پایداری این الکترود نشان داد که فعالیت الکتروکاتالیستی و پایداری آن نسبت به حالت‌های دیگر کمتر است. شکل ۶ همچنین، اثر و نقش مرحله افزودن ملامین را به خوبی نمایش می‌دهد.



شکل ۶ نمودار نایکوئیست کاتالیست‌های سنتز شده Ni/N-rGO و Ni-Cu/rGO و Ni-Cu/N/rGO و Ni-Cu/N-rGO در متابول ۰/۱۸ مولار و سدیم هیدروکسید ۰/۱ مولار در پتانسیل اعمال شده ۰/۷ ولت

الکترود اصلاح شده‌ای که ملامین در مرحله آخر به سامانه افزوده شده است، Ni-Cu/N-rGO، بهتر از حالتی است که ملامین از ابتدا به سامانه افزوده شده است، سنتز منجر به پوشیده شدن گرافن اکسید کاهش یافته می‌شود و



شکل ۵ نمودارهای زمان-آمپرسنجی کاتالیست‌های Ni/N-rGO و Ni-Cu/rGO و Ni-Cu/N/rGO و Ni-Cu/N-rGO در متابول ۰/۱۸ مولار و سدیم هیدروکسید ۰/۱ مولار در پتانسیل اعمال شده ۰/۷ ولت

طیفسنجی رهیندی الکتروشیمیایی (EIS) برای مطالعه سطح الکترودهای اصلاح شده با کاتالیست‌های سنتزی استفاده شد. درک سرعت انتقال الکترون و مکان‌های الکتروفعال و همچنین، فعالیت ذاتی سطح یک الکتروکاتالیست از نکات مهمی است که با بررسی و تفسیر نمودار نایکوئیست^۲ طیفسنجی رهیندی الکتروشیمیایی کاتالیست به دست می‌آید [۲۹ و ۳۰]. شکل ۶ مقایسه‌ای بین نمودار نایکوئیست الکتروکاتالیست‌های آماده شده در پتانسیل ۰/۶ ولت را نشان می‌دهد. رفتار رهیندی الکتروشیمیایی الکتروکاتالیست‌ها در محلول سدیم هیدروکسید ۰/۱ مولار حاوی ۰/۱۸ مولار متابول بررسی شد. سرعت انتقال بار و نفوذپذیری الکتروولیت از عامل‌های مفیدی هستند که با این مطالعه قابل تشخیص هستند. با توجه به این شکل نقش موثر اجزا و ترتیب ترکیب سنتز شده در مقاومت انتقال بار، در ارتقای رسانایی الکترود اصلاح شده با Ni-Cu/N-rGO نسبت به سایر حالت‌ها مشخص است. بر پایه نمودار نایکوئیست طیفسنجی رهیندی الکتروشیمیایی (شکل ۶)، مقاومت سطحی الکترود اصلاح شده با ترکیب Ni-Cu/N-rGO، قطر نیم‌دایره نمودار نایکوئیست، کمتر از سایر الکتروکاتالیست‌های تهیه شده (Ni Cu/rGO, Ni/N-rGO, Ni-Cu/rGO) و

1. Electrochemical impedance spectroscopy (EIS)

2. Nyquist

نیتروژن دوپه شده فراوان و نانوذره های NiCu-N به عنوان مکان های کاتالیستی فعال، فعالیت و دوام عالی برای MOR در محیط های قلیایی را نشان داد. اثرهای هم افزایی کاتالیستی نیکل، مس و نیتروژن دوپه شده بر گرافن اکسید کاهش یافته موجب می شود که Ni-Cu/N-rGO فعالیت الکترو کاتالیستی و پایداری عالی را نشان دهد. در تهیه این کاتالیست از فلز های ارزان قیمت استفاده شد که می تواند جایگزین مناسبی برای کاتالیست های مبتنی بر فلز های نجیب باشد و توسعه فناوری های مبتنی بر ذخیره و تبدیل انرژی های تجدید پذیر را ارتقاء دهد.

درنتیجه کاهش رسانایی سامانه می شود. این نتیجه نیز موافق با نتیجه های بخش های پیشین این مطالعه است و همگی تایید می کنند که الکترود اصلاح شده، Ni-Cu/N-rGO، بهترین حالت برای اکسایش الکترو کاتالیستی متابول است.

نتیجه گیری

به طور خلاصه، سنتز نانو چند سازه جدید Ni-Cu/N-rGO برای اکسایش الکترو کاتالیستی متابول به عنوان آند در یک پیل سوختی الکلی معرفی و با موفقیت کارایی آن به عنوان کاتالیست برای MOR بررسی شد. سنتز این نمونه با یک فرایند ساده و قابل واپاپیش و سریع با به کار گیری ریزموج و عملیات گرمایی تهیه شد. نمونه سنتز شده، Ni-Cu/N-rGO با

مراجع

- [1] Staff JCE. Batteries and fuel cells. *Journal of Chemical Education*. 1978;55(6):399. doi: [10.1021/ed055p399](https://doi.org/10.1021/ed055p399)
- [2] Sharaf OZ, Orhan MF. An overview of fuel cell technology: Fundamentals and applications. *Renewable and Sustainable Energy Reviews*. 2014;32:810-853. doi: [org/10.1016/j.rser.2014.01.012](https://doi.org/10.1016/j.rser.2014.01.012)
- [3] Brett CMA, Brett AMO. *Electrochemistry: Principles, Methods, and Applications*. Oxford: Oxford university press; 1993.
- [4] Winter M, Brodd RJ. What are batteries, fuel cells, and supercapacitors?. *Chemical Reviews*. 2004;104(10):4245-4270. doi: [10.1021/cr020730k](https://doi.org/10.1021/cr020730k)
- [5] Kamyabi MA. Tadayyon-Nosratabad E, Jadali S. A sponge like Pd arrays on Ni foam substrate: Highly active non-platinum electrocatalyst for methanol oxidation in alkaline media. *Materials Chemistry and Physics*. 2020;257:123626. doi: [org/10.1016/j.matchemphys.2020.123626](https://doi.org/10.1016/j.matchemphys.2020.123626)
- [6] Jadali S, Kamyabi MA, Solla-Gullón J, Herrero E. Effect of Pd on the Electrocatalytic Activity of Pt towards oxidation of ethanol in alkaline
- [7] Kamyabi MA, Jadali S. Rational design of PdCu nanoparticles supported on a templated Ni foam: The cooperation effect of morphology and composition for electrocatalytic oxidation of ethanol. *International Journal of Hydrogen Energy*. 2021;46(79):39387-39403. doi: [org/10.1016/j.ijhydene.2021.06.106](https://doi.org/10.1016/j.ijhydene.2021.06.106)
- [8] Kamyabi MA, Hashemi Heris MK, Jadali S. Easy approach for decorating of poly 4-aminothiophenol with Pd nanoparticles: An efficient electrocatalyst for ethanol oxidation in alkaline media. *Journal of Solid State Electrochemistry*. 2021;25:1283-1292. doi: [10.1007/s10008-021-04903-3](https://doi.org/10.1007/s10008-021-04903-3)
- [9] Kamyabi MA, Ebrahimi-Qaratapeh K, Moharramnezhad M. Silica template as a morphology controlling agent for deposition of platinum nanostructure on 3D-Ni-foam and its superior electrocatalytic performance towards methanol oxidation. *Journal of Porous Materials*. 2020. doi.org/10.1007/s10934-020-01001-z
- [10] Edlund D. *Methanol fuel cell systems: Advancing towards commercialization*. Singapore: Pan

- Stanford Publishing Pte. Ltd.; 2011; doi: [10.4032/9789814303149](https://doi.org/10.4032/9789814303149)
- [11] Hamnett A. Mechanism and electrocatalysis in the direct methanol fuel cell. *Catalysis Today*, 1997;38(4):445-457. doi: [org/10.1016/S0920-5861\(97\)00054-0](https://doi.org/10.1016/S0920-5861(97)00054-0)
- [12] O'Hayre R, Cha S-W, Colella W, Prinz FB. *Fuel Cell Fundamentals*. US: John Wiley & Sons; 2016. doi: [10.1002/9781119191766](https://doi.org/10.1002/9781119191766)
- [13] Catherin Sesu D, Patil I, Lokanathan M, Parse H, Marbaniang P, Kakade B. Low density three-dimensional metal foams as significant electrocatalysts toward methanol oxidation reaction. *ACS Sustainable Chemistry & Engineering*. 2018;6(2):2062-2068. doi: [10.1021/acssuschemeng.7b03480](https://doi.org/10.1021/acssuschemeng.7b03480)
- [14] Samanta S, Bhunia K, Pradhan D, Satpati B, Srivastava R. NiCu₂O₄ supported Ni-Cu ion-exchanged mesoporous zeolite heteronano architecture: An efficient, stable, and economical nonprecious electrocatalyst for methanol oxidation. *ACS Sustainable Chemistry & Engineering*. 2018;6(2):2023-2036, doi: [10.1021/acssuschemeng.7b03444](https://doi.org/10.1021/acssuschemeng.7b03444)
- [15] Jadali S, Kamyabi MA, Alizadeh T. The supported forest-like structure of PtSn as an effective deterrent for acetaldehyde formation during the electrocatalytic oxidation of ethanol. *Fuel*. 2022;325:124780. doi: [10.1016/j.fuel.2022.124780](https://doi.org/10.1016/j.fuel.2022.124780)
- [16] Xie LJ, Wu J-F, Chen C-M, Zhang C-M, Wan L, Wang J-L, et al. A novel asymmetric supercapacitor with an activated carbon cathode and a reduced graphene oxide-cobalt oxide nanocomposite anode. *Journal of Power Sources*. 2013;242:148-156. doi: [10.1016/j.jpowsour.2013.05.081](https://doi.org/10.1016/j.jpowsour.2013.05.081)
- [17] He Q, Li Q, Khene S, Ren X, Lopez F, Lozano-Castello D, et al. High-loading cobalt oxide coupled with nitrogen-doped graphene for oxygen reduction in anion-exchange-membrane alkaline fuel cells. *The Journal of Physical Chemistry C*. 2013;117(17):8697-8707. doi: [10.1021/jp401814f](https://doi.org/10.1021/jp401814f)
- [18] Solano E, Perez-Mirabet L, Martinez-Julian F, Guzman R, Arbiol J, Puig T, et al. Facile and efficient one-pot solvothermal and microwave-assisted synthesis of stable colloidal solutions of MFe₂O₄ spinel magnetic nanoparticles. *Journal of Nanoparticle Research*. 2012;14(8):1034. doi: [10.1007/s11051-012-1034-y](https://doi.org/10.1007/s11051-012-1034-y)
- [19] Hu X, Yu JC, Gong J, Li Q, Li G. α-Fe₂O₃ Nanorings prepared by a microwave-assisted hydrothermal process and their sensing properties. *Advanced Materials*. 2007;19(17):2324-2329. doi: [org/10.1002/adma.200602176](https://doi.org/10.1002/adma.200602176)
- [20] Su YL, Cheng SH. Sensitive and selective determination of gallic acid in green tea samples based on an electrochemical platform of poly(melamine) film. *Anal Chim Acta*. 2015;901:41-50. doi: [10.1016/j.aca.2015.10.026](https://doi.org/10.1016/j.aca.2015.10.026)
- [21] Sepehri Z, Bagheri H, Ranjbari E, Amiri-Aref M, Amidi S, Rouini M, et al. Simultaneous electrochemical determination of isoniazid and ethambutol using poly-melamine/electrodeposited gold nanoparticles modified pre-anodized glassy carbon electrode. *Ionics*. 2018;24:1253-1263. doi: [10.1007/s11581-017-2263-y](https://doi.org/10.1007/s11581-017-2263-y)
- [22] Leon A, Advincula Rigoberto C. Chapter 11 - Conducting polymers with superhydrophobic effects as anticorrosion coating. In: Tiwari A, Rawlins J, Hihara LH, Eds. *Intelligent coatings for corrosion control*. Boston: Butterworth-Heinemann; 2015. p.409-430. doi: [10.1016/B978-0-12-411467-8.00011-8](https://doi.org/10.1016/B978-0-12-411467-8.00011-8).
- [23] Liu J, Huanping Yang AB. A green approach to the synthesis of high-quality graphene oxide flakes via electrochemical exfoliation of pencil core. doi:[10.1039/C3RA41366G](https://doi.org/10.1039/C3RA41366G)
- [24] Jasuja K, Linn J, Melton S, Berry V. Microwave-reduced uncapped metal nanoparticles on graphene: Tuning catalytic, electrical, and raman properties. *The Journal of Physical Chemistry Letters*, 2010;1(12):1853-1860. doi: [10.1021/jz100580x](https://doi.org/10.1021/jz100580x)
- [25] Sharma S. Rapid microwave synthesis of CO tolerant reduced graphene oxide-supported

- platinum electrocatalysts for oxidation of methanol. The Journal of Physical Chemistry C. 2010;114(45):19459-19466. doi: [10.1021/jp107872z](https://doi.org/10.1021/jp107872z)
- [26] Kim Y, Cho ES, Park SJ, Kim S. One-pot microwave-assisted synthesis of reduced graphene oxide/nickel cobalt double hydroxide composites and their electrochemical behavior. Journal of Industrial and Engineering Chemistry. 2015;33:108-114. doi: [org/10.1016/j.jiec.2015.09.023](https://doi.org/10.1016/j.jiec.2015.09.023)
- [27] Lambert JB, Gronert S, Shurvell HF, Lightner D, Cooks, RG. Organic structural spectroscopy, 2nd Edition. UK: Pearson; 2010.
- [28] Kaur J, Rani S. CuO/NiO nano-composite synthesized from banana peels for grow light. Materials Today: Proceedings. 2023;91(2):1-6.
- [29] Chen Z, He YC, Chen JH, Fu XZ, Sun R, Chen Y, et al. PdCu alloy flower-like nanocages with high electrocatalytic performance for methanol oxidation, J. Phys. Chem. C 2018;122:8976-83. doi: [org/10.1021/acs.jpcc.8b01095](https://doi.org/10.1021/acs.jpcc.8b01095)
- [30] Bandarenka AS. Exploring the interfaces between metal electrodes and aqueous electrolytes with electrochemical impedance spectroscopy, Analyst 2013;138:5540-54. doi: [org/10.1039/c3an00791j](https://doi.org/10.1039/c3an00791j)

Microwave-assisted synthesis of nickel-copper nanocomposite as an efficient anode material in alcohol fuel cell for methanol electrocatalytic oxidation**M.A. Kamyabi^{1,*}, B. Jalilian**

1. Professor of Department of Chemistry, Faculty of Science, University of Zanjan, Zanjan, Iran.

2. MSc. Student of Department of Chemistry, Faculty of Science, University of Zanjan, Zanjan, Iran.

Abstract: In this study, the synthesis and application of bimetallic nickel-copper nanocomposites and reduction of graphene oxide simultaneously using microwaves were performed. The proposed synthesis method is a simple, fast and controllable process. The electrochemical behavior of the synthesized catalyst was investigated for methanol oxidation reaction (MOR) in alkaline medium. The effect of melamine on the electrocatalytic activity of the synthesized catalyst was studied by cyclic voltammetry (CV), chronoamperometry (CA) and electrochemical impedance spectroscopy (EIS) methods. Also, investigating the effect of melamine as a source of nitrogen leading to nitrogen doping in the reduced graphene oxide network showed that it partially had led to the formation of NiCu-N structures. The metal-nitrogen bond increased the catalytic activity towards MOR. The promoting effect of melamine was proved by an increase of 203 μ A in the current and a decrease of 20 mV in the onset potential compared to other synthesized control catalysts during MOR activity. The results indicated the excellent performance of the synthesized catalyst as an anode in a direct methanol fuel cell.

Keywords: Fuel Cell, Microwave radiation, Electrocatalytic oxidation of methanol, Conductive polymer, Melamine.